

## Kapitel 4 – Implementierung PI-Regler (*"Wrap Up"*)

Elektrotechnisches Institut – Elektrische Antriebe und Leistungselektronik

Vorlesung

**Regelung Leistungselektronischer Systeme**

Sommersemester 2022

Dr.-Ing. Andreas Liske

# Strecke

1. Stromrichter : Totzeitglied

2. Last :

Drossel / Kondensator  
mit  $R_{par}$

→ I

→  $PT_1$

Maschinen

→  $PT_1$  mit Gegenspannung

RLS

linear



nicht linear



→ "Nichtlineares Modell"

→ Kennfelder der Flussverlethung  
 $\psi(i)$

EREA

Bei  $\omega_0$  : I-Verhalten !

# PI-Regler



$$G_r(s) = V_p \left( 1 + \frac{1}{sT_N} \right)$$

$$y = e \cdot V_p \left( 1 + \frac{1}{sT_N} \right) = \underbrace{V_p \cdot e}_P + \underbrace{\frac{V_p}{T_N} \cdot e \cdot \frac{1}{s}}_I$$

Proportionalverstärkung:  $V_p = V_p$

Integralverstärkung:  $V_I = \frac{V_p}{T_N}$

→  $V_I$  muß mit  $V_p$  geändert werden, wenn  $T_N$  konstant sein soll.

Reglerparameter:  $V_p, T_N$

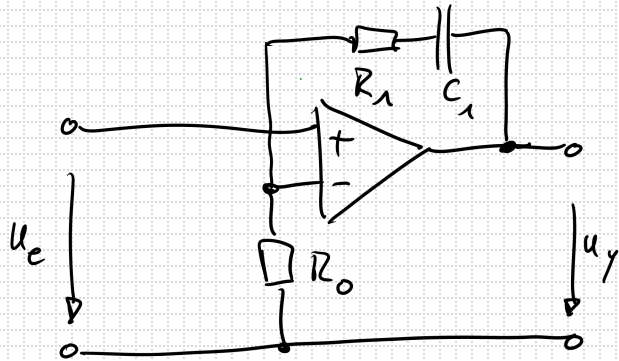
- Bei  $\omega_0$ : P-Verhalten  $\Rightarrow \omega_0$  wird über  $V_p$  eingestellt
- bei  $\omega < \omega_0$ : I-Verhalten  $\Rightarrow \omega_N = \frac{1}{T_N} \ll \omega_0$

# Parametrisierung PI-Regler

	allg. Frequenz-UL-Verfahren (Bode)	Betragsoptimum	Spann. Optimum
Strecke	beliebig, $T_E$ gültig	$PT_1$	$PT_1$
Näherungen	—	$T_E \approx PT_1' \mid T_1' = T_E$ $PT_1 \cdot PT_1 = PT_2 \approx PT_1 \mid T_1 = T_\sigma$	$T_E \approx PT_1 \mid T_1 = T_E$ $PT_1 \cdot PT_1 = PT_2 \approx PT_1 \mid T_1 = T_\sigma$
$\omega_D$	beliebig $\rightarrow \varphi_R \approx 55^\circ \Rightarrow \omega_D = \frac{1}{2 \dots 3 T_E}$	don't care	don't care
$V_p$	$V_p = \frac{1}{ F_S } \mid \omega_D$	$V_p = \frac{T_A}{2 \cdot T_\sigma \cdot \underbrace{V_t}_{T_0} \cdot V_A \cdot V_i}$	$V_p = \frac{2\pi J}{T_M}$ $J$ : Trägheit $T_M$ : Zeitkonst. des Mech.
$T_N$	$T_N = \frac{1}{\omega_N}$ mit $\omega_N \leq \frac{1}{2} \omega_D$ $\Rightarrow T_N \geq 2 \cdot \frac{1}{\omega_D} = 4 \cdot T_E$	$T_N = T_A$	$T_N = 4 \cdot T_\sigma$

# Implementierung PI-Regler

analog: OP-Amps

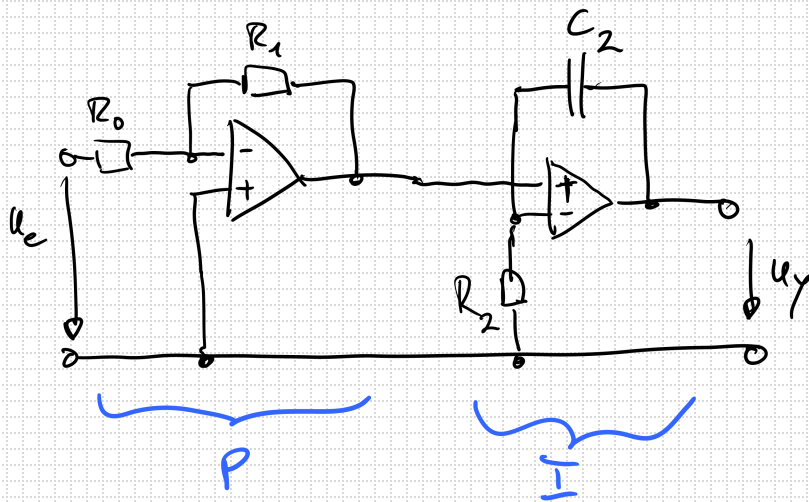


nichtinvertierender PI-Regler:

$$F_R(s) = v_p \left( 1 + \frac{1}{sT_N} \right)$$

$$v_p = 1 + \frac{R_1}{R_0}$$

$$T_N = (R_0 + R_1) \cdot C_1$$



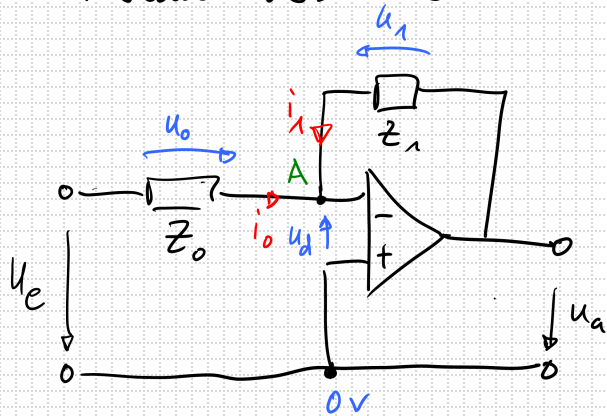
invertierender PI-Regler mit unabhängig einstellbaren Parametern

$$v_p = -\frac{R_1}{R_0}$$

$$T_N = R_2 C_2$$

Herleitung:

a) Invertierendes Verstärker



$$1) u_d = 0V \Rightarrow \varphi_A = 0V$$

$$\Rightarrow u_0 = u_e$$

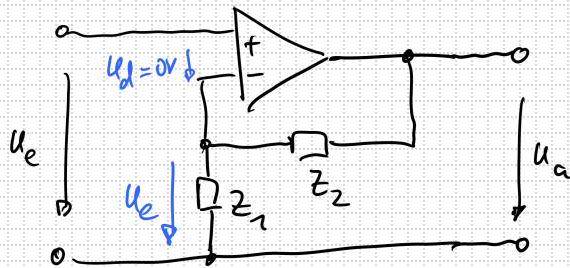
$$u_1 = u_a$$

$$2) i_0 + i_1 = 0$$

$$\frac{u_e}{Z_0} + \frac{u_a}{Z_1} = 0$$

$$\Rightarrow \boxed{\frac{u_a}{u_e} = -\frac{Z_1}{Z_0}}$$

b) nicht invertierender Verstärker



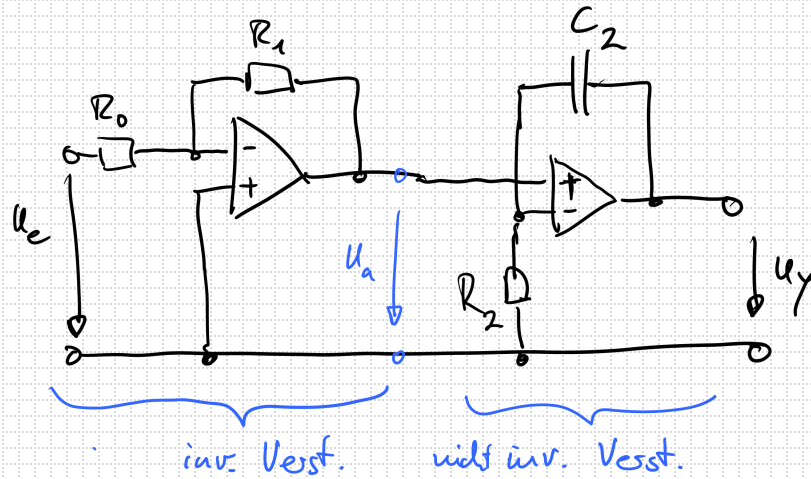
Sp.-Teilw:

$$u_e = \frac{Z_1}{Z_1 + Z_2} \cdot u_a$$

$$\boxed{\frac{u_a}{u_e} = \frac{Z_1 + Z_2}{Z_1} = 1 + \frac{Z_2}{Z_1}}$$

$$\rightarrow \text{mit } Z_1 = R_2 \text{ und } Z_2 = \frac{1}{j\omega C_2} : \quad \frac{u_a}{u_e} = 1 + \frac{1}{j\omega R_2 C_2}$$

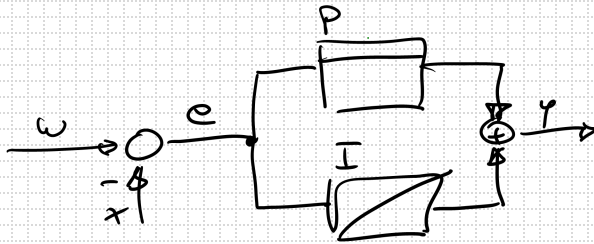
c) Serienschaltung ergibt:



$$\frac{u_y}{u_e} = \frac{u_a}{u_e} \cdot \frac{u_y}{u_a} = - \underbrace{\frac{R_1}{R_0}}_{V_p} \cdot \left( 1 + \underbrace{\frac{1}{j\omega R_2 C_2}}_{T_N} \right) \Rightarrow \text{PI-Regler}$$

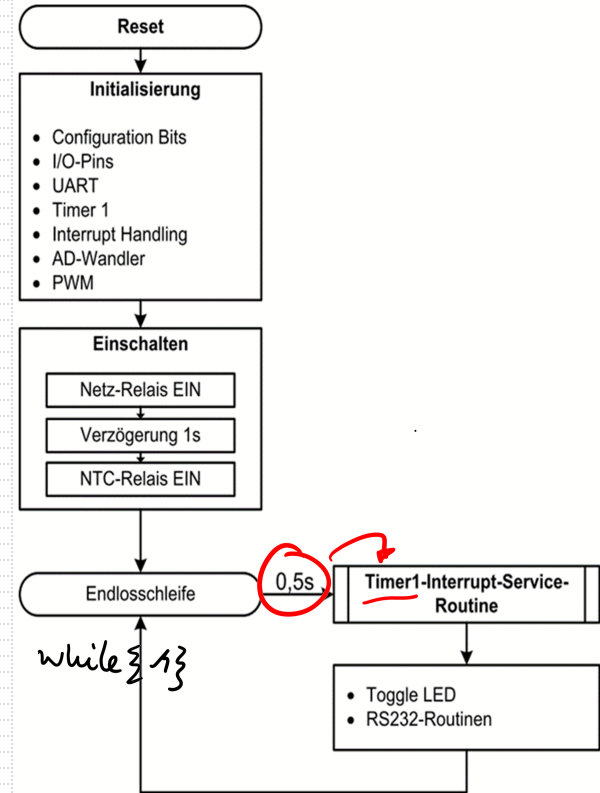
• digitale Implementierung

$$y = e \cdot V_p \left(1 + \frac{1}{sT_N}\right) = \underbrace{V_p \cdot e}_P + \underbrace{\left(\frac{V_p}{T_N}\right) \cdot e \cdot \frac{1}{s}}_I$$



→ Echtzeitregelung bedeutet  
Interruptgesteuerte Programme

⇒ Regelung läuft innerhalb einer  
ISR (Interrupt Service Routine) ab.



↳ Interrupt des ADC, sobald der neue Messwert vorliegt

→ wird üblicherweise mit f<sub>PMU</sub> gemessen

while { } → ADC-ISR / Regelungs-ISR

↳ kann auch vom Modulator getriggert sein

Codebeispiele  
in C

$e = w - x;$   
Sollwert (w)     aktueller Messwert (x)

// Regelabweichung berechnen

$y = v_p \cdot e + v_I \cdot e_{sum};$

// PI-Algorithmus

$e_{sum} = e + e_{sum};$

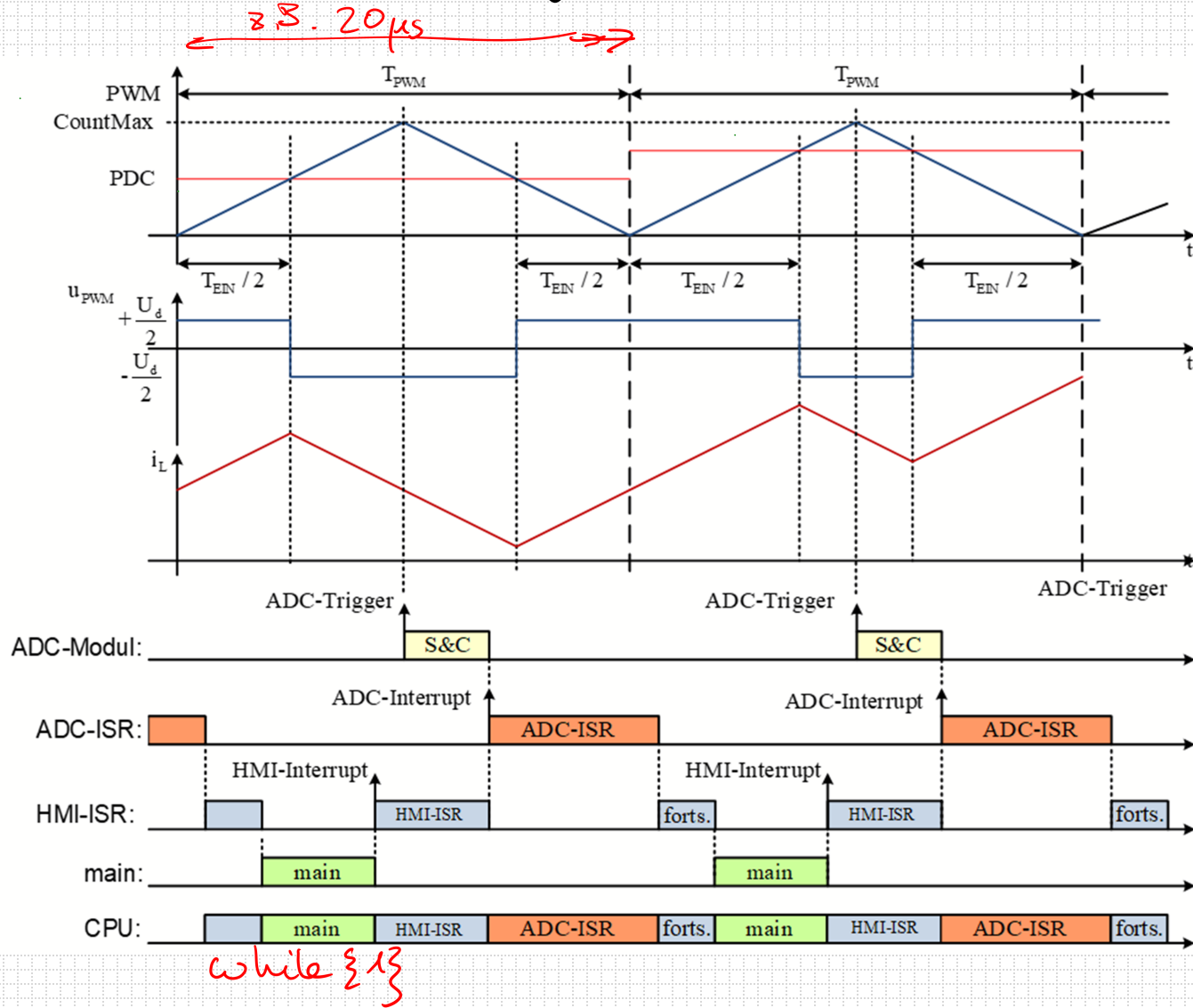
// Fehlersummenbildung (Integral)

Fehlersumme im Takt k:

$e_{sum, k} = e_{sum, k-1} + e_k$

in C:  $e_{sum} += e;$

# Timing - zeitliche Ablaufsteuerung



# Bitshift - schnelle Division

- Division dauert rel. lange  $\rightarrow$  in Echtzeitsignalverarbeitung vermeiden!

- Statt Division (oder Floating-Point-Multiplikation)

1) Multiplikation mit Kehrwert

2) Bitshift nutzen

- Verschieben der Bits um  $n$  Stellen

nach rechts  $\hat{=}$  Division durch  $2^n$

nach links  $\hat{=}$  Multiplikation mit  $2^n$

in C

" $\gg n$ "

" $\ll n$ "

- Bsp:

$$\begin{array}{ccccccc} 1 & 1 & 1 & 0 & \hat{=} & 14 & | \gg 1 \\ & \swarrow & \swarrow & \swarrow & & & \\ 0 & 1 & 1 & 1 & \hat{=} & 7 & \end{array}$$

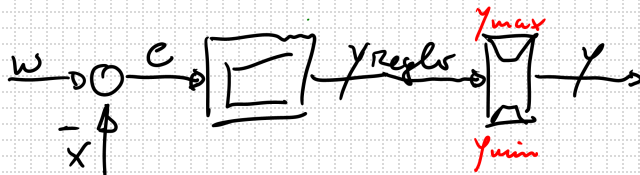
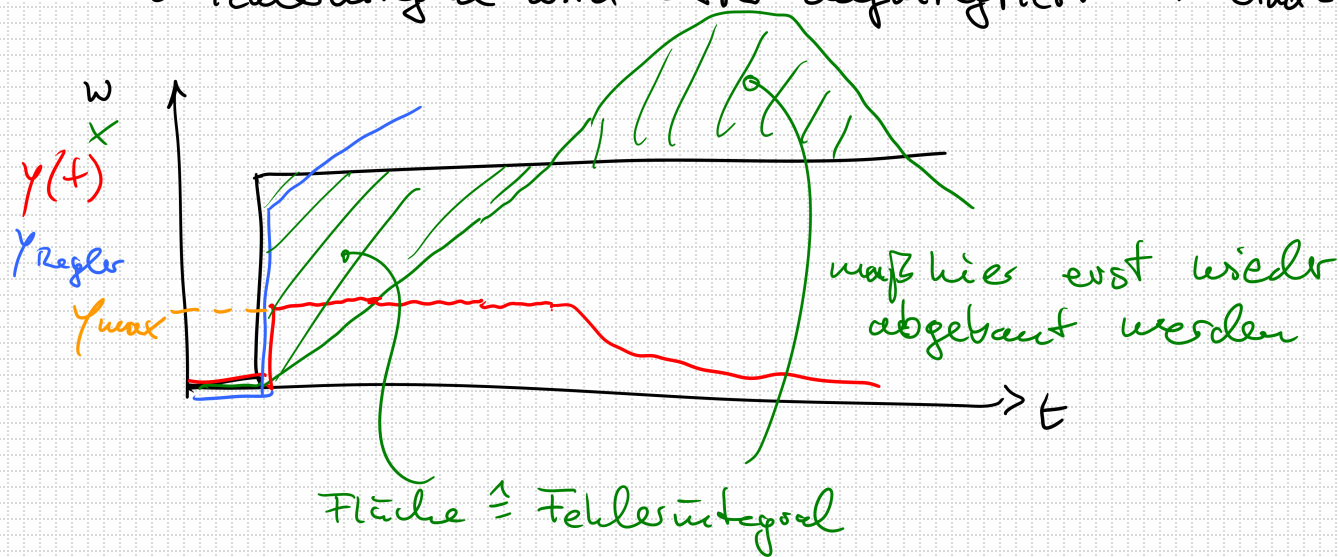
- Zeitaufwand:  $1T_{\text{Bit}}$ !

$$\text{Bsp: } V_p = 4,6 \approx 4,625 = \frac{37}{8} = \frac{37}{2^3} \hat{=} \cdot 37 \gg 3$$

$$V_p \cdot e \hat{=} (37 \cdot e) \gg 3 \quad \text{Dauer: } 2T_{\text{Bit}}$$

# Wind-up - Effekt

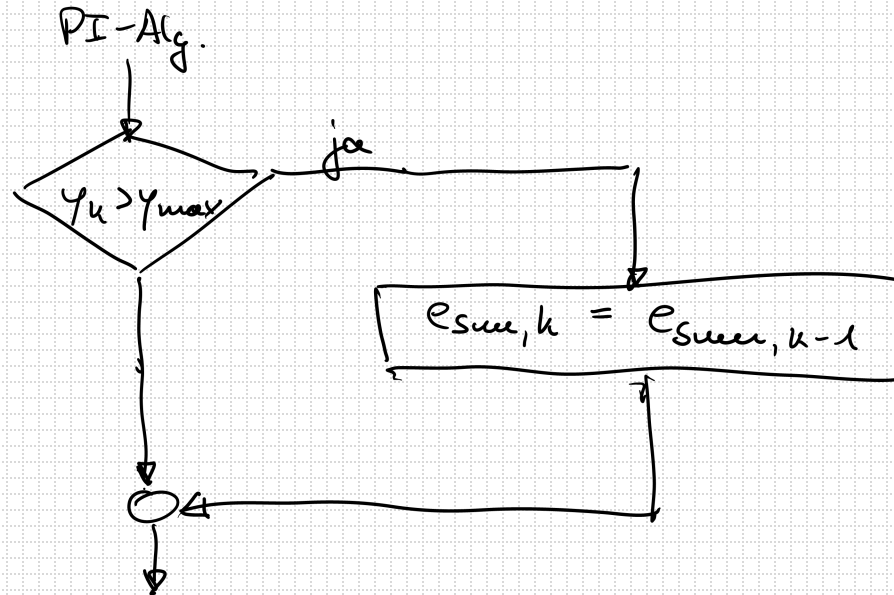
- Reale Stellglieder sind begrenzt  $\Rightarrow$  Stellgrößenbegrenzung 
- Wird vom Regler eine Stellgröße gefordert, die nicht innerhalb der Grenzen liegt
  - Regler kann nicht arbeiten
  - Großsignalbereich
  - Fehlerintegral wird weiter aufintegriert  $\rightarrow$  "Wind-up"-Effekt



## Anti-Wind-up-Maßnahmen

a) I-Anteil anhaken ("Clamping")

Nach der Berechnung der neuen Stellgröße  $y_k$  in Takt  $k$ :



# Anti-Wind-up-Maßnahmen

- b) I-Anteil zurückverrechnen ("Back Calculation")  
in Abh. von  $\gamma_k - \gamma_{max}$

Nach der Berechnung der neuen Stellgröße  $\gamma_k$  in Takt  $k$ :

